

Numele si prenumele vericatorului atestat:
Ing. Zaharia Constantin
Adresa, telefon: Botosani, Calea National 101
0745026686

REFERAT PRIVIND VERIFICAREA DE PROIECTE LA EXIGENTA Af
Nr. 94/03.12.2021

PROIECT: REABILITAREA CLADIRII ZATHURECZKY BERTA
FAZA: STUDIU GEOTEHNIC (SG)
PROIECTANT DE SPECIALITATE: ENG GEO NORTH SRL
BENEFICIAR: MUNICIPIUL SFANTU GHEORGHE
AMPLASAMENT: MUNICIPIUL SFANTU GHEORGHE, JUDETUL MURES

Data prezentarii la verificare: 20.11.2021

Data eliberarii proiectului: 03.12.2021

2. CARACTERISTICI PRINCIPALE ALE PROIECTULUI SI CONSTRUCTIILOR

Studiul geotehnic prezentat urmareste identificarea stratigrafica si caracteristicile geotehnice si fizice, mecanice ale stratelor pe zona activa, prezentat referiri la structura geologica si stratificatia de suprafata a terenului, hidrologia si seismicitatea zonei.

3. DOCUMENTE CE SE PREZINTA LA VERIFICARE

Piese scrise:

- referat geotehnic:

- geologia;
- stratificatia;
- concluzii;

Piese desenate:

- plan incadrare in zona;
- plan cu amplasarea a forajelor geotehnice;
- fise de foraj.

CONCLUZII ASUPRA VERIFICARII

Studiul geotehnic este intocmit in conditiile respectarii cerintelor de proiectare, in conformitate cu NP074/2014, conform cerintei Af in vigoare si contine date necesare pentru faza preliminara a proiectului.

Se vor respecta indicatiile studiului geotehnic.

Se avizeaza favorabil pentru faza – STUDIU GEOTEHNIC

Am primit



Am predat

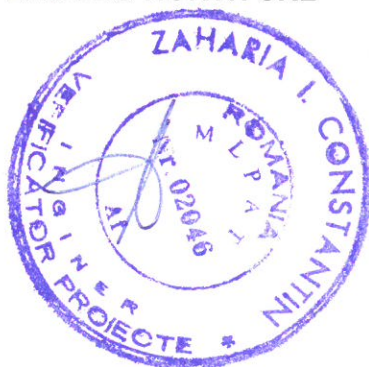
dr. ing. Zaharia Constantin



PROIECT

NR. 35/2021

LUCRAREA: REABILITAREA CLADIRII ZATHURECZKY BERTA
F A Z A: STUDIU GEOTEHNIC (S.G.)
BENEFICIAR: MUNICIPIUL SFANTU GHEORGHE
AMPLASAMENT: MUNICIPIUL SFANTU GHEORGHE, JUDETUL HARGHITA
EXECUTANT : SC ENG GEO NORTH SRL



Pr.sp.geotehnică,
Ing. geol. Ciobîcă Mihai

1. DATE GENERALE

DENUMIREA SI AMPLASAREA LUCRARII: REABILITAREA CLADIRII ZATHURECZKY BERTA

Amplasamentul studiat este situat în municipiul Sfântu Gheorghe, județul Harghita.

Din punct de vedere geomorfologic, municipiul Sfântu Gheorghe este situat în subunitatea geomorfologica Munții Baraolt.

PROIECTANT GENERAL: SC ENGCEO NORTH SRL

PROIECTANT DE SPECIALITATE PENTRU STUDIU GEOTEHNIC – SC ENGCEO NORTH SRL;

NUMELE SI ADRESA TUTUROR UNITATILOR CARE AU PARTICIPAT LA INVESTIGAREA TERENULUI DE FUNDARE;

- SC ENGCEO NORTH SRL - execuție foraje geotehnice, încercări de penetrare dinamică medie (DPM);
- SC ENGCEO NORTH SRL - elaborare studiu;

2. DATE PRIVIND TERENUL DIN AMPLASAMENT

2.1. TECTONICA ȘI SEISMICA ZONEI

Sub raport tectonic , regiunea apartine zonei de vorland , având în partea sudica ca fundament Platforma Moesica (Prebalcanica) , iar la nord de Slatina , zona de contact a acesteia cu Orogenul Carpatic , cazuta în trepte. Peste acest fundament eterogen si destul de complex sta o cuvertura sedimentara cu litlogie si grosimi variate. Partea superioara a acestei cuverturi , de natura molasica , care corespunde neogenului si cuaternarului , se îngroasa în zona de contact orogen - platforma si prezinta o serie de structuri petrolifere (paralele cu cutele subcarpatice).

● Conform prevederilor normativului P100/1-2015, amplasamentul se încadrează la următoarele categorii:

- accelerația terenului $a_g = 0,20$;
- perioada de colț $T_c = 1,0$ sec.

2.2. CARACTERIZAREA GEOLOGICĂ A ZONEI

Teritoriul studiat este situat în regiunea geomorfologică de interferență a Carpaților Orientali cu Carpații Meridionali. Morfologic, bazinul Sfântu Gheorghe face parte din depresiunea intracarpatică a Brașovului și este încadrat la vest de Munții Baraolt, la nord de Munții Bodocului, iar la est de depresiunea Târgu Secuiesc. Aspectul morfologic actual al regiunii este rezultatul evoluției geologice a zonei începând din timpul cutărilor din faza subhercinică. În afara factorilor tectonici, la crearea aspectului morfologic actual al zonei a participat în

mare măsură și rețeaua hidrografică a Oltului, al cărui proces de eroziune a accentuat caracterul de depresiune.

Zona studiată se află în zona de terasă ce se prezintă ca o suprafață cu o pantă domoală orientată în direcția sud, sud-est și este cu cca. 22 m mai sus decât restul orașului. La suprafață se găsește sol vegetal de cca. 0,10-1,00 m grosime. Urmează o alternanță atât pe orizontală cât și pe verticală-prafuri argiloase și argile prăfoase galbene, plastic vârtoase, pe alocuri cu intercalații de nisipuri argiloase cu var pietriș și cu concrețiuni calcaroase. Terenul se încadrează în categoria terenurilor cu contracții mari.

2.3. CARACTERIZAREA GEOMORFOLOGICĂ A ZONEI

Din punct de vedere geomorfologic zona Sfântu Gheorghe face parte din Carpații Orientali, respectiv Carpații de Curbură și anume din Munții Baraolt, care împreună cu Munții Bodoc și Perșani constituie curbura internă. Geomorfologia este variată, specifică tranziției de la depresiune (depresiunea Brașov-Sfântu Gheorghe) la zona montană. Relieful general se înfățișează sub aspectul unor culmi larg boltice, care coboară spre sud, către Depresiunea Sfântu Gheorghe, străbătută de râul Olt.

Orașul este situat în partea centrală-nordică a marii depresiuni intramontane a Brașovului: depresiunea Sfântu Gheorghe-Câmpul Frumos și ocupă o întinsă terasă de pe dreapta râului Olt, terasă ce face racordul între lunca acestui râu și ultimele prelungiri ale munților Baraolt.

2.5. CARACTERIZAREA HIDROLOGICĂ ȘI HIDROGEOLOGICĂ A ZONEI

Rețeaua hidrografică a municipiului Sfântu-Gheorghe este formată din Râul Olt și afluenții săi din dreapta: pârâul Debren cu un bazin hidrografic de 18 km², pârâul Sâmbrezii cu un bazin hidrografic de 15 km² și pârâul Porumbele cu un bazin hidrografic de 8 km².

Fenomenele postvulcanice pe teritoriului orașului prezintă numeroase izvoare de ape carbogazoase, dintre care amintim Būdōskút, situat la intrarea în oraș dinspre Vâlcele, fosta Baia Györbörő cu apă sulfuroasă din Valea pârâului Debren, izvorul de pe strada Borvizului, respectiv izvoarele și mofeta din Șugaș Băi.

2.6. DATE GEOTEHNICE

Amplasamentul studiat, situat în localitatea municipiul Sfântu Gheorghe, județul Harghita (conform planului de încadrare anexat) a fost cercetat prin 2 puncte de investigație (încercări de penetrare dinamică medie și foraje geotehnice), localizate în teren conform cu planul de încadrare anexat (anexele grafice nr. 1.1).

Prezentul studiu geotehnic a fost întocmit în baza prevederilor conținute în:

- NP 074-2014 – „Normativ privind documentațiile geotehnice pentru construcții”;
- NP 125-2010 – „Normativ privind fundarea construcțiilor pe pământuri sensibile la umezire”
- SR EN 1997-1 – „Eurocode 7 – Proiectarea geotehnică. Anexa națională”;
- SR EN 1997-2 – „Eurocode 7 – Investigarea și cercetarea terenului”;
- EN ISO 14688-1,2 – Cercetări și încercări geotehnice. Identificarea și clasificarea pământurilor. Principii pentru clasificare”;
- STAS 1243-88 – Clasificare și identificarea pământurilor.
- EN ISO 22476-2 - Cercetări și încercări de teren. Încercarea de penetrare dinamică.

Conform NP074/2014 prezentul studiu geotehnic are ca scop:

- consultarea și utilizarea profilurilor unitare de stratificație cu indici geotehnici aferenți întocmiți la studiile geotehnice aferente din zonă și vecinătăți cât și din execuția forajelor realizate pentru verificarea stratificației pe zona activă a fundațiilor în amplasamentul analizat;
- stabilirea naturii de bază și a materialelor care vor alcătui corpul terasamentelor;
- stabilirea zonei dificile (pământuri sensibile la umezire, lucrări amplasate pe versanți);
- stabilirea celei mai favorabile variante de fundare în funcție de caracteristicile și stabilitatea terenului de bază;
- identificarea tipului stării și caracteristicilor fizico – mecanice ale terenului de fundare;
- stabilitatea nivelului freatic și influența acestuia asupra terenului de fundare;
- încadrarea terenurilor naturale în clasele prevăzute de normele de deviz pentru lucrări de săpături și terasamente.

2.7. ISTORICUL AMPLASAMENTULUI SI SITUATIA ACTUALA

Amplasamentul studiat este situat în municipiul Sfântu Gheorghe, județul Harghita și este încadrat într-o zonă cu stabilitatea locală asigurată.

2.8. CONDITII REFERITOARE LA VECINATATILE LUCRĂRII

Amplasamentul este situat într-o zonă dens populată – locuințe cu regim de înălțime mic și mediu.

2.9. ÎNCADRAREA OBIECTIVULUI ÎN “ZONE DE RISC”

CRITERIU	PROBABILITATEA
LITOLÓGIC	- REDUSĂ
GEOMORFOLOGICA	- REDUSĂ
STRUCTURAL	- REDUSĂ
HIDROLOGIC ȘI CLIMATIC	- REDUSĂ
HIDROGEOLOGIC	- REDUSĂ
SEISMIC	- MEDIE
SILVIC	- MARE
ANTROPOGEN	- REDUSĂ

Concluzia: Potențial de alunecare redus, probabilitatea de producere a alunecărilor de teren, redusă.

3) PREZENTAREA INFORMAȚIILOR GEOTEHNICE

Pentru determinarea stratului de fundare al obiectivelor propuse, și studierea stratificației nivelului apei subterane și stabilității versantului au fost efectuate 2 puncte de investigație reprezentate prin 2 carote în asfalt, continuate prin 2 încercări de penetrare dinamică medie, măsurători conform legislației în vigoare, cu aparatura adecvată și cu indici de precizie determinați.

În urma cartărilor s-a stabilit următoarea succesiune de strate:

- umplutură, din argilă nisipoasă brună cu fragmente de materiale de construcții;
- argilă nisipoasă brună cu plasticitate mare, plastic consistent;
- nisip fin / mediu cenușiu, predominant prăfos, afânat;
- nisip cu pietriș cu îndesare mijlocie.

3.1. METODELE, UTILAJELE SI APARATURA FOLOSITE

Pentru determinarea stratului de fundare, studierea stratificației și nivelului apei subterane au fost efectuate:

- încercări de penetrare dinamică (DP) cu penetrometrul dinamic PAGANI DPM 20-30 (echipament conform standardului EN ISO 22476-2), cu ajutorul căruia s-au obținut date „în situ”;
- pentru recoltarea probelor din sistemul rutier existent s-a folosit mașina de carotat cu răcire apă, 2500w DEDRA.

Pentru recoltarea, etichetarea și ambalarea probelor s-au aplicat prescripțiile SR EN 1997 – 2:2008 EUROCODE 7. Probele recoltate s-au ambalat și asigurat în vederea păstrării integrității lor pe parcursul transportului și depozitării lor.

Poziția prospecțiunilor este reprezentată în planul de situație anexat iar rezultatele determinărilor în situ și de laborator, sunt centralizate pe fișele de foraj/ încercare penetrare dinamică.

3.2. DATELE CALENDARISTICE

Faza de teren a studiului geotehnic și analizele de laborator și faza de elaborare a studiului geotehnic au fost efectuate în septembrie 2021.

3.3. STRATIFICAȚIA PUSĂ ÎN EVIDENȚĂ

Adânc. strat (m)	NPDM	Rd (Kg/cm ²)	Tip	Clay Fraction (%)	Greutate volumic ă (t/m ³)	Greutate volumic ă saturată (t/m ³)	Tensiun e efectivă (Kg/cm ²)	Coefi cient de corela tie cu Nspt	NSP T	Descriere
1.3	8.15	30.15	Coeziv	0	1.82	1.89	0.12	0.76	6.23	umplutura din argila nisipoasa cu fragmente de materiale de constructii
1.9	8.83	31.19	Coeziv	0	1.85	1.9	0.29	0.78	6.91	argila nisipoasa, plastic consistenta
3.7	18.78	62.93	Coeziv	0	2.07	2.28	0.53	0.8	14.9	Nisip prăfos, mediu, afanat
4	54.67	173.35	Necoezi v	0	2.22	2.13	0.75	0.81	44.3	nisip cu pietris cu indesare medie

3.4. NIVELUL APEI SUBTERANE

Nivelul hidrostatic a fost interceptat la -2,20 m de la CTN în forajele executate.

3.5. CONDIȚII SPECIFICE AMPLASAMENTULUI

Conform „Cod de proiectare. Evaluarea acțiunii zăpezii asupra construcțiilor” – CR 1-1-3-2012 amplasamentul este caracterizat de o încărcare la sol $S_{0,k} = 2,0 \text{ kN/m}^2$ cu un IMR = 50 ani din punct de vedere al calcului greutateii stratului de zăpadă.

Conform „Cod de proiectare. Evaluarea acțiunii vântului asupra construcțiilor” – CR 1-1-4-2012 amplasamentul este caracterizat de o presiunea de referință a vântului, mediată pe 10 min. la 10 m înălțime de la sol pentru o perioadă de recurență de 50 ani, de $q_{ref} = 0,7 \text{ kPa}$.

Conform STAS 6054 – 77 adâncimea de îngheț este $1.00 \div 1.10 \text{ cm}$.

4. EVALUAREA INFORMAȚIILOR GEOTEHNICE

Prezentul studiu geotehnic se referă la condițiile geotehnice de pe amplasamentul analizat în municipiul Sfântu Gheorghe, județul Harghita.

4.1. STABILIREA CATEGORIEI GEOTEHNICE

Conform normativului NP074/2014, lucrarea proiectată se încadrează în categoria geotehnică 1, având risc geotehnic scăzut (9 puncte).

Stabilirea categoriei geotehnice, conform Normativului NP 074-2014, s-a făcut astfel:

Condiții de teren	Terenuri bune	2 p
Apa subterană	Fără epuizmente	1 p
Clasificarea construcției după categoria de importanță	Redusă	2 p
Vecinatăți	Risc moderat	1 p
Accelerația terenului $a_g = 0,20$		3 p
<hr/>		
Total		9 p

4.2. STABILITATEA GENERALĂ A ZONEI

Amplasamentul analizat are stabilitatea locală asigurată și nu este inundabil.

4.3. ANALIZA SI INTERPRETAREA DATELOR

Amplasamentul studiat are la data întocmirii prezentei documentații, stabilitatea locală asigurată, nefiind supus inundațiilor sau viiturilor de apă din precipitații;

- terenul de fundare pentru clădirea existentă (cota de fundare 1,30 -1,40 m de la CTN) este alcătuit dintr-o argilă nisipoasă brună cu plasticitate mare, plastic consistentă;
- se vor lua măsuri pentru eliminarea tuturor posibilităților de infiltrare a apei în teren și de umezire a acestuia cu efect negativ imediat asupra construcțiilor propuse. În acest sens, măsurile vor trebui îndreptate spre cele două posibilități de umezire a terenului, din apele de suprafață și din rețelele subterane.

Reabilitarea construcției propuse se poate realiza în condiții de stabilitate asigurată și cu posibilități de exploatare normale, pentru care se impune respectarea următoarelor recomandări:

- adâncimea de fundare pe amplasament, trebuie să respecte de adâncimea minima de îngheț, a grosimii stratului de sol vegetal si umpluturi și a caracteristicilor terenului de fundare:
- adâncimea de îngheț – Conform STAS 6054/77 – minim 1.00...1.10 cm;
- respectarea adâncimii minime de fundare – conform NP112/04, tab. 3.1 – $H_f + 20$ cm;
- adâncimea de fundare recomandată – 1.20 m de la CTN in functie de grosimea

stratului cu caracteristici geotehnice slabe;

- calculul terenului la starea limită de capacitate portantă stabilită conform STAS 3300/2-85 și Normativ NP125/2010 - Pcrt;

cota de fundare (m)	latime fundatie (m)	Pconv (kPa)
-1.20	0.30	220

Conform prevederilor din Indicatorul Ts/1981, pământurile în care se vor executa săpături, se încadrează în următoarele categorii de teren:

- argilă nisipoasă, teren mediu, cat. II-a.

La proiectare și execuție se vor respecta normele de protecția muncii în vigoare și în mod deosebit cele din „Regulamentul privind protecția și igiena muncii, aprobat de MLPAT cu ordinul 9/N/15.03.1993.

Începerea activităților se va face numai după obținerea tuturor acordurilor privind disponibilizarea amplasamentului de utilitățile subterane ale acestuia.

Se va solicita prezența pe teren a executantului prezentului studiu în următoarele situații:

- în cazul apariției unor neconcordanțe între situația de pe teren și cea descrisă în prezentul studiu;
- după executarea săpăturilor la cota de fundare pentru verificarea naturii terenului;
- la fazele determinate cerute de ISC.



ÎNTOCMIT,
Pr. spec. geotehnică,
ing. geol. Clobîcă Mihai

ÎNCERCARE DE PENETRARE DINAMICĂ

Client: MUNICIPIUL SF. GHEORGHE
Descriere : REABILITAREA CLADIRII
ZATHURECZKY BERTA
Locatie: MUN. SF. GHEORGHE, JUDETUL
COVASNA

Caracteristici tehnice instrumente Sonda: DMP 3020 PAGANI

Referință normă	DIN 4094
Greutate masă pentru lovituri	30 Kg
Înălțime cădere liberă	0.20 m
Greutate sistem de lovire	15.25 Kg
Diametru vârf con	35.68 mm
Suprafață cu bază ascuțită	10 cm ²
Lungimea prăjinilor	1 m
Greutate prăjini pe metru	2.4 Kg/m
Lungime prima prăjină	0.80 m
Penetrare la vârf	0.10 m
Număr de lovituri pe vârf	N(10)
Cămășuire/noroi bentonitic	Nu
Unghi vârf de con	60 °

ÎNCERCĂRI DE PENERTOMETRIE DINAMICE CONTINUE
(DYNAMIC PROBING)
DPSH – DPM (... scpt etc.)

Note ilustrative - Diverse tipologii de penetrometre dinamice

Încercarea de penetrometrie dinamică constă în introducerea în teren a unui vârf conic (înaintări progresive δ) măsurând numărul de lovituri N necesar.

Încercările de Penetrometrie Dinamice sunt foarte răspândite și utilizate de către geologi și geotehniști, datorită simplității de execuție, economiei și rapidității de execuție.

Elaborarea lor, interpretarea și vizualizarea grafică dă posibilitatea “catalogării și parametrizării” solului cu ajutorul unei imagini continue, care permite o comparație între consistența diverselor nivele traversate și o corelație directă cu sondajele geognostice pentru caracterizarea stratigrafică.

Sonda penetrometrică permite de asemenea recunoașterea destul de precisă a grosimii păturilor din substrat, cota eventualelor nivele freatice, suprafețe de ruptură în taluzuri și consistența generală a terenului. Utilizarea datelor, deduse din corelațiile indirecte și făcând referire la diverși autori, trebuie oricum să fie tratată cu spirit critic și, dacă este posibil, după teste geologice pe teren.

Elemente caracteristice ale penetrometrului dinamic sunt următoarele:

- greutate ciocan M ;
- înălțime liberă cădere H ;
- vârf conic: diametru bază con D , suprafața bazei A (unghi de deschidere α);
- avansare (penetrare) δ ;
- prezența/absența câmășurii externe (noroi bentonitic).

În ceea ce privește clasificarea ISSMFE (1988) diverselor tipuri de penetrometre dinamice (vezi tabelul de mai jos) avem de-a face cu o subdiviziune în patru clase (pe baza greutății M a ciocanului) :

- tip USOR (DPL);
- tip MEDIU (DPM);
- tip GREU (DPH);
- tip SUPERGREU (DPSH);

Clasificarea ISSMFE a penetrometrelor dinamice:

Tip	Acronime	Greutate ciocan M (kg)	Adâncime maximă probă (m)
Ușor	DPL (Ușor)	$M \leq 10$	8
Mediu	DPM (Mediu)	$10 < M < 40$	20-25
Greu	DPH (Greu)	$40 \leq M < 60$	25

Super-greu(Super Heavy)	DPSH	$M \geq 60$	25
-------------------------	------	-------------	----

penetrometre utilizate în Italia

În Italia sunt utilizate următoarele tipuri de penetrometre dinamice (care însă nu au intrat în satndardul ISSMFE):

- DINAMIC USOR ITALIAN (DL-30) (MEDIU conform clasificării ISSMFE)
ciocan $M = 30$ kg, înălțime de cădere $H = 0.20$ m, penetrare $\delta = 10$ cm, vârf conic ($\alpha=60-90^\circ$), diametru $D = 35.7$ mm, suprafața laterală a conului $A=10 \text{ cm}^2$ cămășuire /noroi bentonitic: prevăzut;
- DINAMIC USOR ITALIAN (DL-20) (MEDIU conform clasificării ISSMFE)
ciocan $M = 20$ kg, înălțime de cădere $H=0.20$ m, penetrare $\delta = 10$ cm, vârf conic ($\alpha= 60-90^\circ$), diametru $D = 35.7$ mm, suprafața laterală a conului $A=10 \text{ cm}^2$ cămășuire /noroi bentonitic: prevăzut;
- DINAMIC GREU ITALIAN (SUPERGREU conform clasificării ISSMFE)
ciocan $M = 73$ kg, înălțime de cădere $H=0.75$ m, penetrare $\delta=30$ cm, vârf conic ($\alpha = 60^\circ$), diametru $D = 50.8$ mm, suprafața laterală a conului $A=20.27 \text{ cm}^2$ cămășuire: prevăzută în funcție de indicații precise;
- DINAMIC SUPERGREU (Tip EMILIA)
ciocan $M=63.5$ kg, înălțime de cădere $H=0.75$ m, penetrare $\delta=20-30$ cm, vârf conic ($\alpha = 60^\circ-90^\circ$) diametru $D = 50.5$ mm, suprafața laterală a conului $A = 20 \text{ cm}^2$, cămășuire /noroi bentonitic: prevăzut.

Corelatie cu Nspt

Deși încercarea de penetrometrie standard (SPT) reprezintă azi unul dintre mijloacele cele mai răspândite si economice pentru obtinerea de informații din subteran, marea parte a corelațiilor existente privesc numărul de lovituri Nspt obținut cu ajutorul încercării, este necesară raportarea numărului de lovituri al unei încercări dinamice cu Nspt. Transformarea este dată de:

$$NSPT = \beta_t \cdot N$$

Unde:

$$\beta_t = \frac{Q}{Q_{SPT}}$$

în care Q reprezintă energia specifică pentru lovitură si Q_{spt} reprezintă energia care se referă la încercarea SPT. Energia specifică pentru lovitură se calculează în acest mod:

$$Q = \frac{M^2 \cdot H}{A \cdot \delta \cdot (M + M')}$$

în care

M	greutate ciocan.
M'	greutate prăjini.
H	înălțime cădere.
A	suprafața laterală a conului.
δ	intervalul de penetrare.

Evaluarea rezistenței dinamice a conului R_{pd}

Formula Olandeză

$$R_{pd} = \frac{M^2 \cdot H}{[A \cdot e \cdot (M + P)]} = \frac{M^2 \cdot H \cdot N}{[A \cdot \delta \cdot (M + P)]}$$

R_{pd}	rezistența dinamică a conului (arie A).
e	penetrare medie pe lovitură (pas instrument împărțit la număr lovituri) (δ/N).
M	greutatea ciocanului (înălțimea de cădere H).
P	greutate totală prăjini și sistem de lovire/batere.

Calculul $(N_1)_{60}$

$(N_1)_{60}$ este numărul de lovituri normalizat definit ca:

$$(N_1)_{60} = CN \cdot N_{60} \text{ con } CN = \sqrt{(Pa/\sigma_{v0})} \quad CN < 1.7 \quad Pa = 101.32 \text{ kPa (Liao e Whitman 1986)}$$

$$N_{60} = N_{SPT} \cdot (ER/60) \cdot C_S \cdot C_r \cdot C_d$$

ER/60: Randament sistem de foraj normalizat la 60%.

C_S : Parametru funcție de tub foraj (1.2 dacă lipsește).

C_d : Funcție de diametrul forajului (1 dacă este cuprins între 65-115mm).

C_r : Parametru de corectie funcție de lungimea prăjinilor.

Metodologie de Prelucrare

Prelucrările au fost efectuate printr-un program de calcul automat Dynamic Probing produs de *GeoStru Software*.

Programul calculează raportul energiilor transmise (coeficientul de corelație cu SPT) prin elaborările propuse de către Pasqualini (1983) - Meyerhof (1956) - Desai (1968) - Borowczyk-Frankowsky (1981).

Permite de asemenea utilizarea datelor obținute din efectuarea încercărilor de penetrometrie pentru extrapolarea informațiilor geotehnice și geologice utile.

O vastă experiență dobândită, împreună cu buna interpretare și corelare, permit obținerea datelor utile pentru proiectare, de multe ori date mai fiabile decât din alte surse bibliografice, aspra litologiilor precum și date

geotehnice determinate asupra verticalelor litologice din puține încercări de laborator realizate ca și reprezentare generală a unei verticale eterogene neuniformă și/sau complexă.

În particular se obțin informații privind :

- conturul vertical și orizontal al intervalelor stratigrafice;
- caracterizarea litologică a unităților stratigrafice;
- parametrii geotehnici sugerați de diverși autori în funcție de valorile numărului de lovituri și de rezistența pe con.

Evaluare statistici și corelații

Prelucrarea Statistica

Permite prelucrarea statistică a datelor numerice din Dynamic Probing, utilizând în calcul valori reprezentative ale stratului, considerând o valoare inferioară sau superioară mediei aritmetice a stratului (valoare des utilizată); valorile ce se pot introduce sunt :

Media

Media aritmetică a valorilor numărului de lovituri pe stratul considerat.

Media minimă

Valoarea statistică inferioară mediei aritmetice a valorilor numărului de lovituri pe stratul considerat.

Maxim

Valoarea maximă a valorilor numărului de lovituri pe stratul considerat.

Minim

Valoarea minimă a valorilor numărului de lovituri pe stratul considerat.

Deviația standard medie

Deviație standard medie a valorilor numărului de lovituri pe stratul considerat.

Media deviată

Valoarea statistică a mediei deviate a valorilor numărului de lovituri pe stratul considerat.

Media (+) deviație

Media + deviația (valoarea statistică) a valorilor numărului de lovituri pe stratul considerat.

Media (-) deviație

Media - deviația (valoarea statistică) a valorilor numărului de lovituri pe stratul considerat.

Distribuție normală R.C.

Valoarea lui $N_{spt,k}$ este calculată pe baza unei distribuții normale sau gaussiene, fixând o probabilitate de a nu depăși de 5%, conform relației de mai jos:

$$N_{spt,k} = N_{spt,medio} - 1.645 \cdot (\sigma_{N_{spt}})$$

unde $\sigma_{N_{spt}}$ este deviația standard a lui N_{spt}

Distribuție normală R.N.C.

Valoarea lui $N_{spt,k}$ este calculată pe baza unei distribuții normale sau gaussiene, fixând o probabilitate de a nu depăși de 5%, tratând valorile medii ale lui N_{spt} distribuite normal:

$$N_{spt,k} = N_{spt,medio} - 1.645 \cdot (\sigma_{N_{spt}}) / \sqrt{n}$$

unde n este numărul de citiri.

Presiunea admisibilă

Presiunea admisibilă specifică pe interstrat (cu sau fără efect de reducere a energiei pentru mișcarea laterală a prăjinilor) calculată după cunoscutele elaborări propuse de Herminier, aplicând un coeficient de siguranță (în general = 20-22) care corespunde unui coeficient de siguranță standard pentru fundații egal cu 4, cu o geometrie standard cu lățime egală cu 1 m și adâncime $d = 1$ m.

Corelații geotehnice terenuri necoezive

Lichefiere

Permite calculul potențialului de lichefiere al solurilor (în principal nisipoase) utilizând date N_{spt} . Prin relația lui *SHI-MING (1982)*, aplicabilă pentru terenuri nisipoase, lichefierea este posibilă numai dacă N_{spt} -ul startului avut în vedere este inferior N_{spt} -ului critic conform prelucrării lui *SHI-MING*.

Corelație N_{spt} în prezenta pânzei freatice

$$N_{spt\text{ corectat}} = 15 + 0.5 \cdot (N_{spt} - 15)$$

N_{spt} este valoarea medie în strat

Corelația este aplicată în prezența pânzei freatice dacă numărul de lovituri este mai mare de 15 (corecția este realizată dacă pânza freatică se regăsește în întreg stratul).

Unghi de forfecare

- **Peck-Hanson-Thornburn-Meyerhof** (1956) - corelație validă pentru terenuri solide la adâncime < 5 m; corelația validă pentru **nisipuri** și **pietrișuri** reprezintă valori medii. Corelație istorică foarte utilizată, valabilă pentru adâncime < 5 m pentru terenuri uscate și < 8 m pentru terenuri cu strat freatic (tensiuni $< 8-10$ t/mp).
- **Meyerhof** (1956) - Corelație valabilă pentru **terenuri argiloase și argilose-mărnoase fisurate, terenuri moi și pături detritice** (din modificarea experimentală a datelor).
- **Sowers** (1961) - Unghi de frecare în grade valid pentru **nisipuri** în general (cond. optime pentru adâncime < 4 m pentru terenuri uscate și < 7 m pentru terenuri cu strat freatic $\sigma > 5$ t/mp).
- **De Mello** - Corelație valabilă pentru **terenuri predominant nisipose și nisipoase-pietroase** (din modificarea experimentală a datelor) cu unghiul de frecare $< 38^\circ$.
- **Malcev** (1964) - Unghiul de frecare în grade valabil pentru **nisipuri** în general (cond. optime pentru adâncime > 2 m și pentru valorile unghiului de frecare $< 38^\circ$).
- **Schmertmann** (1977) - Unghiul de frecare în grade pentru **diversele tipuri litologice** (valori maxime). **N.B.** valori de obicei prea optimiste, deduse din corelațiile indirecte din D_r (%).
- **Shioi-Fukuni** (1982) (ROAD BRIDGE SPECIFICATION) - Unghi de frecare în grade valabil pentru **nisipuri - nisipuri fine sau prăfoase și prafuri** (cond. optime pentru adâncimea încercării > 8 m terenuri uscate și > 15 m pentru terenuri cu strat freatic) $\sigma > 15$ t/mp.
- **Shioi-Fukuni** (1982) (JAPANESE NATIONALE RAILWAY) - Unghi de frecare (grade) valabil pentru **nisipuri medii, grosiere și cu pietriș**.
- **Owasaki & Iwasaki** - Unghi de frecare în grade valabil pentru **nisipuri - nisipuri medii, grosiere și cu pietriș** (cond. optime pentru adâncimea > 8 m pentru terenuri uscate și > 15 m pentru terenuri cu strat freatic) $\sigma > 15$ t/mp.
- **Meyerhof** (1965) – Corelație valabilă pentru **terenuri nisipoase** cu % de praf $< 5\%$ cu o adâncime < 5 m și cu % de praf $> 5\%$ cu o adâncime < 3 m.
- **Mitchell și Katti** (1965) – Corelație validă pentru **nisipuri și pietrișuri**.

Densitatea relativă (%)

- **Gibbs & Holtz** (1957) - corelație valabilă pentru orice presiune efectivă, pentru **pietriș** D_r este supraestimat, iar pentru **prafuri** subestimat.

- **Skempton (1986)** - elaborare valabilă pentru **prafuri și nisipuri și nisipuri fine până la grosiere** NC pentru orice presiune efectivă, pentru pietrișuri de valoarea D_r % este supraestimat, pentru prafuri este subestimat.
- **Schultze & Menzenbach (1961)** - pentru **nisipuri fine și cu pietriș** NC ,metodă valabilă pentru orice valoare de presiune efectivă în depozitele NC, pentru pietrișuri valoarea lui D_r % este supraestimată, pentru prafuri este subestimată.

Modulul lui Young [E_Y (Kg/cmp)]

- **Terzaghi** - elaborare validă pentru **nisip curat** și pentru **nisip cu pietriș** fără să luăm în considerare presiunea efectivă.
- **Schmertmann (1978)** - elaborare valabilă pentru **diferite tipuri litologice**.
- **Schultze-Menzenbach** - elaborare valabilă pentru **diferite tipuri litologice**.
- **D'Appollonia și alții (1970)** - corelație validă pentru **nisip, nisip SC, nisip NC și pietriș**.
- **Bowles (1982)** - corelație validă pentru **nisip argilos, nisip prăfos, nisip mediu, nisip, praf nisipos și pietriș**.

Modul Edometric (M_o (E_{ed}) (Kg/cmp))

- **Begemann (1974)** - elaborarea densității rezultată din încercări în Grecia corelație validă pentru **praf cu nisip, nisip și pietriș**.
- **Buisman-Sanglerat** - corelație valabilă pentru **nisip și nisip argilos**
- **Farrent (1963)** - corelație valabilă pentru **nisip, nisip cu pietriș** (din modificarea experimentală a datelor).
- **Menzenbach și Malcev** - corelație validă pentru **nisipuri fine, nisipuri cu pietriș, nisip și pietriș**.

Stare de consistență

- Clasificarea A.G.I. (1977)

Greutatea Volumică (t/mc)

- **Meyerhof și alții**, validă pentru **nisipuri, pietrișuri, praf, praf nisipos**.

Greutate Volumică Saturată

- **Terzaghi-Peck (1948-1967)**

Modulul lui poisson

- Clasificare A.G.I.

Potential de lichefiere (Stress Ratio)

- **Seed-Idriss (1978-1981)** - Această corelație este validă numai pentru **nisipuri, pietriș și prafuri nisipoase**, reprezintă raportul dintre efortul dinamic mediu și tensiunea verticală de consolidare pentru calcularea potențialului de lichefiere a nisipurilor și terenurilor nisipoase-cu pietriș prin intermediul graficelor autorilor.

Viteza undelor de forfecare V_s (m/s)

- Această corelație este validă numai pentru **terenuri necoezive nisipoase și pietroase**.

Modul dinamic de deformatie (G)

- **Ohsaki & Iwasaki** - elaborare valabilă pentru **nisipuri plastice și nisipuri curate**.
- **Robertson și Campanella (1983)** și **Imai & Tonouchi (1982)** - elaborare validă mai ales pentru **nisipuri** și pentru tensiuni litostatice care se încadrează între 0,5 - 4,0 kg/cmp.

Modul de reacție (K_0)

- **Navfac (1971-1982)** - elaborarea validă pentru **nisipuri, pietrișuri, praf, praf nisipos**.

Resistența la vârf a penetrometrului static (Q_c (Kg/cmp))

- **Robertson (1983)** - Q_c

Corelații geotehnice pentru terenuri coezive**Coeziune nedrenată \tilde{C}_u [Cu (Kg/cmp)]**

- **Benassi & Vannelli** - corelații deduse din experiența firmei constructoare Penetrometre SUNDA 1983.
- **Terzaghi-Peck (1948-1967)** - corelație validă pentru **argile nisipoase-prăfoase NC** cu $N_{spt} < 8$, **argile prăfoase cu plastice medii, argile mărnoase fisurate**.
- **Terzaghi-Peck (1948)** - C_u (min-max).

- **Sanglerat** - din date Penetr. Static pentru **terenuri coezive satuate**, această de corelație nu este valabilă pentru **argilele sensitive** cu o sensibilitate > 5 , pentru **argile supraconsolidate fisurate** și pentru **prafuri cu plasticitate scăzută**.
- **Sanglerat** - pentru **argile prăfoase-nisipoase puțin coezive**, valori valide pentru rezistențe penetrometrice < 10 lovituri, pentru rezistențe penetrometrice > 10 prelucrarea validă este aceea a "**argilelor plastice**" a lui Sanglerat.
- (U.S.D.M.S.M.) **U.S. Design Manual Soil Mechanics** - Coeziune nedrenată pentru **argile prăfoase și argile cu plastice medii și ridicate**, (Cu-Nspt-grad de plasticitate).
- **Schmertmann (1975)** - (valori medii), valid pentru **argile și nisipuri argiloase** cu $N_c=20$ și $Q_c/N_{spt}=2$.
- **Schmertmann (1975)** - (valori minime), validă pentru **argile NC**.
- **Fletcher (1965)** - (Argila de Chicago) Coeziune nedrenată, coloană valori valide pentru **argile cu plasticitate medie-scazuta**.
- **Houston (1960)** - **argilă cu plasticitate medie-ridicată**.
- **Shioi-Fukuni (1982)**, validă pentru **terenuri puțin coezive și plastice, argilă cu plasticitate medie-ridicată**.
- **Begemann**.
- **De Beer**.

Rezistența la vârf penetrometru static [Q_c (Kg/cmp)]

- **Robertson (1983)** Q_c .

Modul Edometric [M_o (Eed) (Kg/cmp)]

- **Stroud și Butler (1975)** - pentru **litotipi cu plasticitate medie**, valid pentru **litotipi argiloși cu plasticitate medie- crescută** - din experiențe pe argilele glaciare.
- **Stroud și Butler (1975)** - pentru **litotipi cu plasticitate medie-scazuta** ($IP < 20$), validă pentru **litotipi argiloși cu plasticitate medie-scazuta** ($IP < 20$) - din experiențe pe argilele glaciare.
- **Vesic (1970)** - corelație validă pentru **argile moi** (valori minime și maxime).
- **Trofimenkov (1974), Mitchell și Gardner** - validă pentru litotipi **argilosi și pratoși-argiloși** (raport $Q_c/N_{spt}=1.5-2.0$).
- **Buisman-Sanglerat** - valid pentru **argile compacte** ($N_{spt} < 30$) **medii și moi** ($N_{spt} < 4$) și **argile nisipoase** ($N_{spt}=6-12$).

Modulul lui Young [E_Y (Kg/cm²)]

- **Schultze-Menzenbach** (Min. si Max.), corelatie valabilă pentru **prafuri coezive** și **prafuri argiloase** cu IP > 15
- **D'Appollonia si altii** (1983) - corelație validă pentru **argile saturate-argile fisurate**.

Starea de consistență

- Clasificare A.G.I. (1977)

Greutate Voulmică (t/mc)

- **Meyerhof și alții** - validă pentru **argile, argile nisipoase și prăfoase** prevalent coezive.

Greutate Voulmică saturată

- **Meyerhof și alții.**

ÎNCERCARE Nr.1

Instrument folosit... DMP 3020 PAGANI

Încercare efectuată în data de...22-11-2021

Adâncime încercare 4.00 mt

Nivelul freatic nu a fost identificat

Tip prelucrare: Mediu

Adâncime (m)	Nr. de lovituri	Calcularea coef. reducere Sonda Chi	Rezistență dinamică redusă (Kg/cm ²)	Rezistență dinamică (Kg/cm ²)	Presiune admisibilă redusă Herminier - Olandesi (Kg/cm ²)	Presiune admisibilă (Kg/cm ²)
0.10	3	0.857	9.71	11.33	0.49	0.57
0.20	4	0.855	12.91	15.11	0.65	0.76
0.30	4	0.853	12.88	15.11	0.64	0.76
0.40	17	0.801	51.42	64.22	2.57	3.21
0.50	11	0.849	35.27	41.55	1.76	2.08
0.60	4	0.847	12.80	15.11	0.64	0.76
0.70	5	0.845	15.96	18.89	0.80	0.94
0.80	11	0.843	35.04	41.55	1.75	2.08
0.90	13	0.792	37.01	46.75	1.85	2.34
1.00	4	0.840	12.08	14.39	0.60	0.72
1.10	3	0.838	9.04	10.79	0.45	0.54

1.20	13	0.786	36.76	46.75	1.84	2.34
1.30	14	0.785	39.50	50.35	1.98	2.52
1.40	4	0.833	11.98	14.39	0.60	0.72
1.50	5	0.831	14.95	17.98	0.75	0.90
1.60	5	0.830	14.92	17.98	0.75	0.90
1.70	4	0.828	11.91	14.39	0.60	0.72
1.80	14	0.776	39.09	50.35	1.95	2.52
1.90	21	0.725	52.23	72.07	2.61	3.60
2.00	21	0.723	52.12	72.07	2.61	3.60
2.10	17	0.772	45.02	58.34	2.25	2.92
2.20	17	0.770	44.93	58.34	2.25	2.92
2.30	17	0.769	44.84	58.34	2.24	2.92
2.40	17	0.767	44.76	58.34	2.24	2.92
2.50	17	0.766	44.67	58.34	2.23	2.92
2.60	17	0.764	44.59	58.34	2.23	2.92
2.70	16	0.763	41.89	54.91	2.09	2.75
2.80	18	0.761	47.04	61.77	2.35	3.09
2.90	17	0.760	42.40	55.79	2.12	2.79
3.00	21	0.709	48.84	68.92	2.44	3.45
3.10	21	0.707	48.75	68.92	2.44	3.45
3.20	21	0.706	48.65	68.92	2.43	3.45
3.30	19	0.755	47.06	62.35	2.35	3.12
3.40	19	0.753	46.98	62.35	2.35	3.12
3.50	21	0.702	48.39	68.92	2.42	3.45
3.60	21	0.701	48.30	68.92	2.42	3.45
3.70	21	0.700	48.22	68.92	2.41	3.45
3.80	32	0.648	68.09	105.01	3.40	5.25
3.90	45	0.597	84.50	141.48	4.22	7.07
4.00	87	0.596	163.03	273.54	8.15	13.68

Adânc. strat (m)	NPDM	Rd (Kg/cm ²)	Tip	Clay Fraction (%)	Greutate volumic ă (t/m ³)	Greutate volumic ă saturată (t/m ³)	Tensiun e efectivă (Kg/cm ²)	Coeficie nt de corelatie cu Nspt	NSPT	Descrier e
1.3	8.15	30.15	Coeziv	0	1.82	1.89	0.12	0.76	6.23	umplutu ra din argila nisipoas a cu fragmen te de material e de construc tii

1.9	8.83	31.19	Coeziv	0	1.85	1.9	0.29	0.78	6.91	argila nisipoasa, plastic consistenta
3.7	18.78	62.93	Coeziv	0	2.07	2.28	0.53	0.8	14.99	, afanat
4	54.67	173.35	Necoeziv	0	2.22	2.13	0.75	0.81	44.39	nisip cu pietris cu indesare medie

CALCUL PARAMETRII GEOTEHNICI ÎNCERCARE Nr.1

SOLURI COEZIVE

Coeziune nedrenată (Kg/cm²)

	NSPT	Adânc strat (m)	Terza ghi-Pe ck	Sangl erat	Terza ghi-Pe ck (1948)	U.S.D .M.S. M	Schm ertma nn 1975	SUN DA (1983) Benas si e Vanne lli	Fletch er (1965) Argila de Chica go	Houst on (1960)	Shioi - Fukui 1982	Bege mann	De Beer
[1] - umplu tura din argila nisipo asa cu fragm ente de materi ale de constr uctii	6.23	1.30	0.39	0.78	0.00	0.25	0.61	0.91	0.56	0.90	0.31	0.94	0.78
[2] - argila nisipo asa, plastic	6.91	1.90	0.43	0.86	0.00	0.28	0.68	0.94	0.62	0.95	0.35	0.98	0.86

consis tenta													
[3] - , afanat	14.99	3.70	1.01	1.87	0.00	0.59	1.48	1.89	1.30	1.62	0.75	2.13	1.87

Qc Rezistență pe con Penetrometru Static

	NSPT	Adânc. strat (m)	Corelatie	Qc (Kg/cm ²)
[1] - umplutura din argila nisipoasa cu fragmente de materiale de constructii	6.23	1.30	Robertson (1983)	12.46
[2] - argila nisipoasa, plastic consistenta	6.91	1.90	Robertson (1983)	13.82
[3] - , afanat	14.99	3.70	Robertson (1983)	29.98

Modul Edometric (Kg/cm²)

	NSPT	Adânc. strat (m)	Stroud e Butler (1975)	Vesic (1970)	Trofimenkov (1974), Mitchell e Gardner	Buisman-San glerat
[1] - umplutura din argila nisipoasa cu fragmente de materiale de constructii	6.23	1.30	28.58	--	65.33	77.88
[2] - argila nisipoasa, plastic consistenta	6.91	1.90	31.70	--	72.27	86.38
[3] - , afanat	14.99	3.70	68.77	--	154.68	149.90

Modulul lui Young (Kg/cm²)

	NSPT	Adânc. strat (m)	Schultze	Apollonia
[1] - umplutura din argila nisipoasa cu fragmente de materiale de constructii	6.23	1.30	51.25	62.30
[2] - argila nisipoasa, plastic	6.91	1.90	59.07	69.10

consistenta				
[3] - , afanat	14.99	3.70	151.99	149.90

Clasificarea AGI (Asociatia Geologilor Italiani)

	NSPT	Adânc. strat (m)	Corelatie	Clasificare
[1] - umplutura din argila nisipoasa cu fragmente de materiale de constructii	6.23	1.30	A.G.I. (1977)	MODERAT. CONSISTENTE
[2] - argila nisipoasa, plastic consistenta	6.91	1.90	A.G.I. (1977)	MODERAT. CONSISTENTE
[3] - , afanat	14.99	3.70	A.G.I. (1977)	CONSISTENTE

Greutate volumică

	NSPT	Adânc. strat (m)	Corelatie	Greutate volumică (t/m ³)
[1] - umplutura din argila nisipoasa cu fragmente de materiale de constructii	6.23	1.30	Meyerhof	1.82
[2] - argila nisipoasa, plastic consistenta	6.91	1.90	Meyerhof	1.85
[3] - , afanat	14.99	3.70	Meyerhof	2.07

Greutate volumică saturată

	NSPT	Adânc. strat (m)	Corelatie	Greutate volumică saturată (t/m ³)
[1] - umplutura din argila nisipoasa cu fragmente de materiale de constructii	6.23	1.30	Meyerhof	1.89
[2] - argila nisipoasa, plastic consistenta	6.91	1.90	Meyerhof	1.90
[3] - , afanat	14.99	3.70	Meyerhof	2.28

Viteza undei de forfecare

	NSPT	Adânc. strat (m)	Corelatie	Viteza undei de forfecare
--	------	---------------------	-----------	---------------------------

				(m/s)
[1] - umplutura din argila nisipoasa cu fragmente de materiale de constructii	6.23	1.30		0
[2] - argila nisipoasa, plastic consistenta	6.91	1.90		0
[3] - , afanat	14.99	3.70		0

TERENURI NECOEZIVE

Densitate relativă

	NSPT	Adânc. strat (m)	Gibbs & Holtz 1957	Meyerhof 1957	Schultze & Menzenbach (1961)	Skempton 1986
[4] - nisip cu pietris cu indesare medie	44.39	4.00	62.16	100	100	75.83

Unghi de frecare internă

	NSPT	Adânc. strat (m)	Nspt corect . pt. prezență nivel freatic	Peck-Hanson-Thornburn-Meyerhof 1956	Meyerhof (1956)	Sowers (1961)	Malcev (1964)	Meyerhof (1965)	Schmertmann (1977)	Mitchell & Katti (1981)	Shioini Fuku (1982) (ROAD BRIDGE SPECIFICATION)	Japanese National Railway	De Mello	Owasaki & Iwasaki
[4] - nisip cu pietris cu indesare medie	44.39	4.00	44.39	39.68	32.68	40.43	31.76	42.01	42	35-38	40.8	40.32	49.25	44.8

Modulul lui Young (Kg/cm²)

	NSPT	Adânc.	Nspt	Terzaghi	Schmertm	Schultze-	D'Appollo	Bowles
--	------	--------	------	----------	----------	-----------	-----------	--------

		strat (m)	corect. pt. prezentă nivel freatic		ann (1978) (Sabbie)	Menzenbach (Sabbia ghiaiosa)	nia ed altri 1970 (Sabbia)	(1982) Sabbia Media
[4] - nisip cu pietris cu indesare medie	44.39	4.00	44.39	475.57	355.12	524.50	512.92	296.95

Modul Edometric (Kg/cm²)

	NSPT	Adânc. strat (m)	Nspt corect. pt. prezentă nivel freatic	Buisman-Sa nglerat (sabbie)	Begemann 1974 (Ghiaia con sabbia)	Farrent 1963	Menzenbach e Malcev (Sabbia media)
[4] - nisip cu pietris cu indesare medie	44.39	4.00	44.39	266.34	118.64	315.17	235.98

Clasificarea AGI (Asociatia Geologilor Italiani)

	NSPT	Adânc. strat (m)	Nspt corect. pt. prezentă nivel freatic	Corelatie	Clasificarea AGI (Asociatia Geologilor Italiani)
[4] - nisip cu pietris cu indesare medie	44.39	4.00	44.39	Clasificare A.G.I.	ÎNDESAT

Greutate volumică

	NSPT	Adânc. strat (m)	Nspt corect. pt. prezentă nivel freatic	Corelatie	Greutate volumică (t/m ³)
[4] - nisip cu pietris cu indesare medie	44.39	4.00	44.39	Terzaghi-Peck 1948	1.82

Greutate volumică saturată

	NSPT	Adânc. strat (m)	Nspt corect. pt. prezentă nivel freatic	Corelatie	Greutate volumică saturată (t/m ³)
[4] - nisip cu pietris cu indesare medie	44.39	4.00	44.39	Terzaghi-Peck 1948	2.13

Modulul lui Poisson

	NSPT	Adânc. strat (m)	Nspt corect. pt. prezentă nivel freatic	Corelatie	Poisson
[4] - nisip cu pietris cu indesare medie	44.39	4.00	44.39	(A.G.I.)	0.27

Modulul dinamic de deformatie (Kg/cm²)

	NSPT	Adânc. strat (m)	Nspt corect. pt. prezentă nivel freatic	Ohsaki (Sabbie pulite)	Robertson e Campanella (1983) e Imai & Tonouchi (1982)
[4] - nisip cu pietris cu indesare medie	44.39	4.00	44.39	2298.06	1268.82

Viteza undei de forfecare

	NSPT	Adânc. strat (m)	Nspt corect. pt. prezentă nivel freatic	Corelatie	Viteza undei de forfecare (m/s)
[4] - nisip cu pietris cu indesare medie	44.39	4.00	44.39	Ohta & Goto (1978) Prafuri	171.04

Lichefiere

	NSPT	Adânc. strat (m)	Nspt corect. pt. prezentă nivel freatic	Corelatie	Fs Lichefiere
[4] - nisip cu pietris cu indesare medie	44.39	4.00	44.39	Seed e Idriss (1971)	--

Modulul reactiei substratului de fundare Ko

	NSPT	Adânc. strat (m)	Nspt corect. pt. prezentă nivel freatic	Corelatie	K0
[4] - nisip cu pietris cu indesare medie	44.39	4.00	44.39		---

Qc Rezistentă pe con Penetrometru Static

	NSPT	Adânc. strat (m)	Nspt corect. pt. prezentă nivel freatic	Corelatie	Qc (Kg/cm ²)
--	------	---------------------	---	-----------	-----------------------------

[4] - nisip cu pietris cu indesare medie	44.39	4.00	44.39		---
--	-------	------	-------	--	-----

Index

ÎNCERCARE Nr.1	.11
Densitate relativă	.15
Unghi de frecare internă	.15
Modulul lui Young (Kg/cm^2)	.16
Modul Edometric (Kg/cm^2)	.16
Clasificarea AGI (Asociația Geologilor Italiani)	.16
Greutate volumică	.17
Greutate volumică saturată	.17
Modulul lui Poisson	.17
Modulul dinamic de deformare (Kg/cm^2)	.17
Viteza undei de forfecare	.17
Lichefiere	.18
Qc Rezistență pe con Penetrometru Static	.18
Index	.20